

Видеокодек с межкадровым декодированием и быстрым покадровым кодированием

Беляев Евгений Александрович
eabelyaev@itmo.ru

1. Недостатки гибридных кодеков

Высокая сложность кодирования

- ▶ Кодер осуществляет выбор параметров кодирования, а декодер лишь их использует.
- ▶ Вычислительная сложность кодера значительно выше сложности декодера.
- ▶ Сложность кодера:
 $C(H.264) < C(H.265) < C(H.266)$.
- ▶ Что делать, если сложность кодера является критичной?

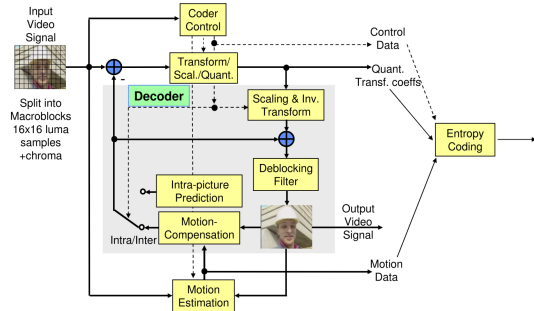


Рис.: Кодер H.264/AVC

1. Недостатки гибридных кодеков

Высокая чувствительность к потерям пакетов

- ▶ Допустим, что кадр 21 не был доставлен декодеру (потерян).
- ▶ Вместо кадра 21 декодер покажет кадр 20.
- ▶ Поскольку кодер и декодер ссылаются на разные кадры, возникает распространение ошибки от кадра к кадру.



20

21

22

23

24

35

- ▶ Что делать, если требуется передача по ненадёжному каналу связи, и перепосылки невозможны?

2. Где это может использоваться?

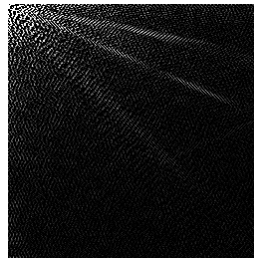


- ▶ В микроустройствах сжатия и передачи видео (беспроводная эндокапсула и т.д.).
- ▶ В качестве резервного кодека, если длительность работы устройства от батареи приоритетнее.
- ▶ Если канал передачи очень ненадёжный.

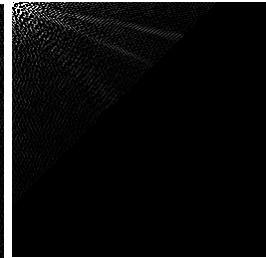
3. Что такое Compressive Sensing. Линейная модель измерений



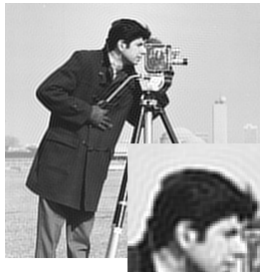
(a) X



(b) $F = \text{dct2}(X)$



(c) \hat{F}



(d) $\hat{X} = \text{idct2}(\hat{F})$

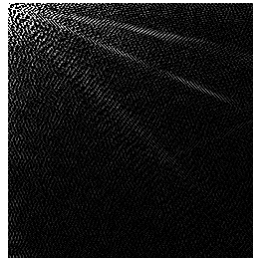
- ▶ Вычисляем 2-D DCT для изображения X , размером 256×256 .
- ▶ Берем первые 21000 (33%) коэффициентов по зигзагу (как в JPEG) и вычисляем обратное 2-D DCT.
- ▶ Можно ли взять 21000 коэффициентов так, чтобы качество было лучше?¹

¹Romberg, J. Imaging via Compressive Sampling, IEEE Signal Processing Magazine, 2008.

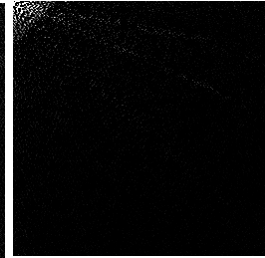
3. Что такое Compressive Sensing. Случайная модель измерений



(a) X



(b) $F = \text{dct2}(X)$



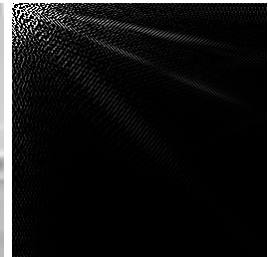
(c) \hat{F}_0



(d) $\hat{X}_0 = \text{idct2}(\hat{F}_0)$

- ▶ Вычисляем 2-D DCT для изображения X .
- ▶ Берем первые 1000 коэффициентов по зигзагу, остальные 20000 на случайных позициях.

1. Выполняем пороговую функцию для \hat{X}_0 (используем фильтр BM3D²).
2. Для полученного изображения X_f вычисляем спектр F и в него 'вставляем' ненулевые коэффициенты из изначального спектра \hat{F}_0 .
3. Вычисляем изображение $\hat{X}_1 = idct2(F)$ и повторяем шаги 1-2.

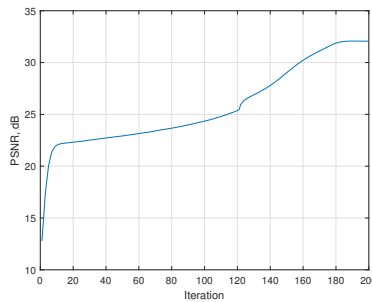
(a) \hat{X}_0 (b) $X_f = \text{BM3D}(\hat{X}_0)$ (c) $\hat{F}_1 = \text{dct2}(X_f)$ (d) $\hat{X}_1 = \text{idct2}(\hat{F}_1)$

²K. Dabov, A. Foi, V. Katkovnik and K. Egiazarian, Image Denoising by Sparse 3-D Transform-Domain Collaborative Filtering, *IEEE Transactions on Image Processing*, 2007.

3. Что такое Compressive Sensing. Итеративное восстановление пороговой функцией (ISTA)



(a) \hat{X}_0



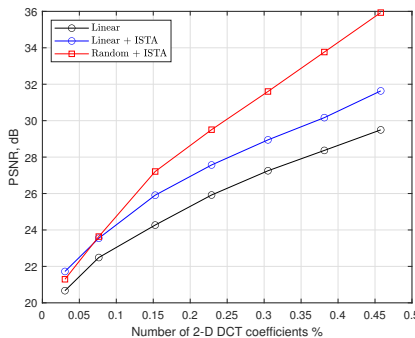
(b) PSNR(i)



(c) \hat{X}_{200}

Включить деморолик: ISTA_demo.avi

3. Что такое Compressive Sensing. Сравнение моделей измерения



- ▶ Случайные измерения лучше линейных.
- ▶ Для неслучайных измерений тоже можно использовать ISTA:
 - ▶ Для superresolution³.
 - ▶ Для мягкого декодирования JPEG и MJPEG⁴ и wavelet-кодеков⁵.

³K. Egiazarian et al., Single Image Super-resolution via BM3D Sparse Coding, EUSIPCO, 2015.

⁴E. Belyaev et al., Motion JPEG Decoding via Iterative Thresholding and Motion-Compensated Deflickering, MMSP, 2020

⁵E. Belyaev et al., Error Concealment for 3-D DWT based Video Codec using Iterative Thresholding, IEEE Communications Letters, 2017

4. Как из Compressive Sensing сделать видеокодек.

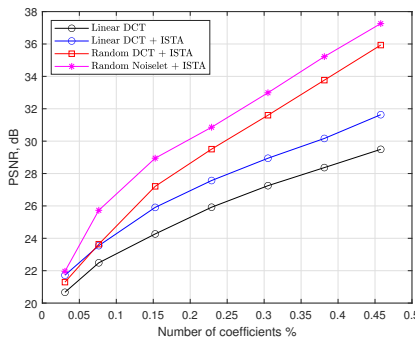
Нужно ответить на следующие вопросы⁶:

- ▶ Какую модель взятия измерений выбрать?
- ▶ Как передавать случайные позиции коэффициентов декодеру?
- ▶ Как сжимать измерения?
- ▶ Как восстанавливать видео в декодере?

⁶E.Belyaev, An Efficient Compressive Sensed Video Codec with Inter-Frame Decoding and Low-Complexity Intra-Frame Encoding, Sensors, 2023.

4. Как из Compressive Sensing сделать видеокодек. Случайная модель на основе noiselet-преобразования

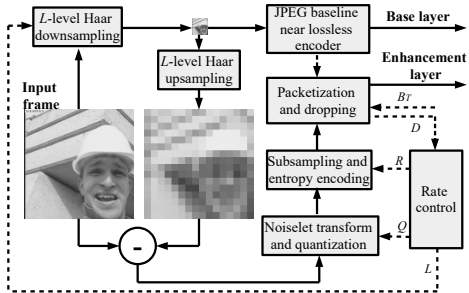
- ▶ В общем случае матрица измерений не должна быть хороша для сжатия (DCT или wavelet).
- ▶ Можно использовать noiselet.



Noiselet transform

Input: x_1, x_2, \dots, x_N

```
1:  $c \leftarrow N^2 - 1$ 
2: for  $j = 0, \dots, \frac{N^2}{2}$  do
3:    $k \leftarrow j \oplus c$ 
4:    $y_j \leftarrow x_j + x_k$ 
5:    $y_k \leftarrow x_j - x_k$ 
6: end for
7: for  $d = \lfloor \frac{c}{2} \rfloor, \lfloor \frac{c}{4} \rfloor, \dots, 1$  do
8:   for  $j = 0, \dots, \frac{N^2}{2}$  do
9:      $k \leftarrow j \oplus c \oplus d$ 
10:     $t \leftarrow y_j$ 
11:     $y_j \leftarrow y_j - y_k$ 
12:     $y_k \leftarrow t + y_k$ 
13: end for
14: end for
```



- ▶ Входной кадр уменьшается в L раз и сжимается JPEG на QF=100.
- ▶ Уменьшенный кадр увеличивается и вычитается из исходного кадра.
- ▶ Выполняется noiselet для разностного кадра.
- ▶ Берутся коэффициенты на псевдослучайных позициях.
- ▶ Выбранные коэффициенты квантуются (степенью двойки), сжимаются арифметическим кодером и пакетируются.
- ▶ Пакеты сохраняются в заголовок JPEG файла.

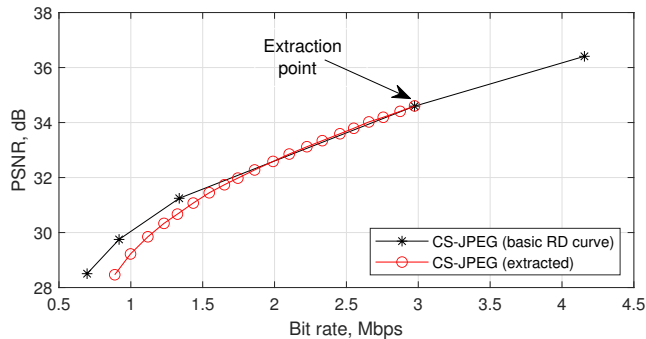


Рис.: Декодирование при удалении части пакетов из битового потока

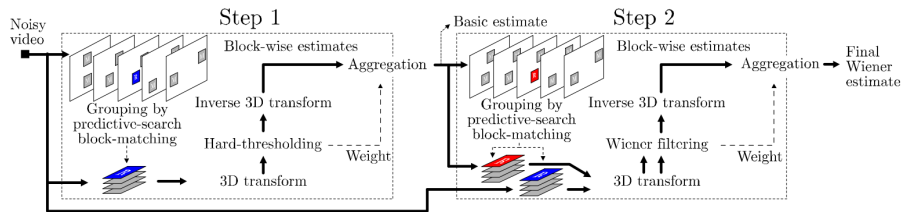
- ▶ Так как измерения кодируются независимо, качество восстановления зависит только от числа измерений, которые дошли до декодера.
- ▶ Поэтому битовый поток устойчив к потерям пакетов (распространения ошибки не происходит).
- ▶ Путём откidyvания лишних пакетов можно получить нужный битрейт.

- ▶ Используются псевдослучайные векторы, в которых хранится расстояние между коэффициентами.
- ▶ Например, для взятия 10% измерений можно использовать вектор

$$\mathbf{v} = \{19, 9, 11, 17, 12, 6, 7, 5, 12, 2\},$$

т.е. передаются коэффициенты $y_1, y_{20}, y_{29}, y_{40}, \dots$

- ▶ Декодирование осуществляется итеративно для группы из 16 кадров. В качестве пороговой функции можно использовать фильтр VBM3D⁷.
- ▶ Step 1. Для блока в текущем кадре выполняется поиск похожих блоков, из найденных блоков формируется 3D блок, для которого выполняется фильтрация в области ДКП.
- ▶ Step 2. В предварительно отфильтрованном видео снова выполняется поиск похожих блоков и т.д.



⁷K. Dabov, A. Foi, and K. Egiazarian. Video denoising by sparse 3D transform-domain collaborative filtering, EUSIPCO, 2007

- ▶ Вместо VBM3D была реализован фильтр, который:
 - ▶ Использует векторы движения из предыдущей итерации как стартовые векторы.
 - ▶ Использует фильтрацию со псевдослучайным выбором размера 3D блока на каждой итерации.
 - ▶ Работает в 20 раз быстрее (0.07 fps на CPU 2.8 GHz на разрешении 352×288).
 - ▶ Лучше на 0.76 dB по PSNR.

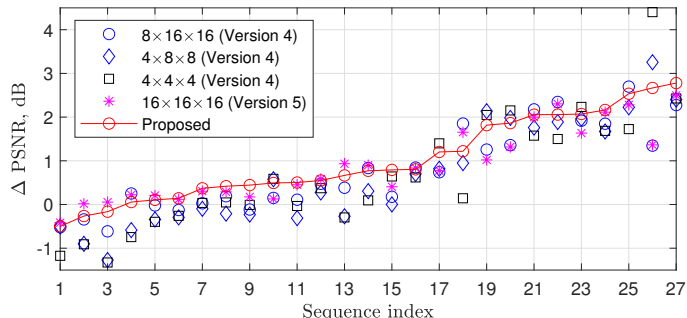


Таблица: Количество кадров, сжимаемых в секунду на видео 'Foreman', разрешение 352×288 на CPU 2.8 GHz

R_T , kbps	MJPEG	MJPEG2000	<i>x264-intra</i>		<i>x265-intra</i>	CS-JPEG
			<i>ultrafast</i>	<i>veryslow</i>	<i>ultrafast</i>	
600	223	12	347	24	17	552
1000	221	12	271	19	16	517
1500	213	12	217	16	15	444
2000	199	12	177	14	14	381
В среднем	214	12	253	18	16	474
%	100	6	118	8	7	221

5. Сравнение с MJPEG, H.264-Intra, H.265-Intra



(a) x264-intra (ultrafast)



(b) x265-intra (ultrafast)



(c) CS-JPEG

Рис.: Кадр 150 видео 'Hall' на 600 kbps

Включить деморолик: csjpeg_demo.mp4

6. Что можно сделать еще?

- ▶ Взятие измерений и восстановление видео можно осуществлять при помощи нейронных сетей.
- ▶ Восстановление можно реализовать гораздо быстрее на базе нейронных сетей, аппроксимирующих итеративный алгоритм (ISTA). Например, для разрешения 352×288 достигнуты следующие результаты:
 - ▶ ISTA-Net⁸ осуществляет декодирование изображений со скоростью 0.47 и 13.8 fps на CPU и GPU, соответственно.
 - ▶ CSRN⁹ восстанавливает изображения со скоростью 293 fps на GPU (14.32 fps для HD разрешения).

⁸ Jian Zhang and Bernard Ghanem, ISTA-Net: Interpretable Optimization-Inspired Deep Network for Image Compressive Sensing, CVPR, 2018.

⁹ Y. Zhou et al., A Lightweight Recurrent Learning Network for Sustainable Compressed Sensing, IEEE Transactions on Emerging Topics in Computational Intelligence, 2023



Спасибо за внимание!